

تأثیر نژاد موش بر تولید رده‌های سلولهای بنیادی جنینی

◇ حسین بهاروند. Ph.D^{*}, عادله طانی. B.Sc^{*}, محمد معصومی. M.Sc^{*}, هانیه جعفری. M.Sc^{*}, سیده ملامحمدی. B.Sc^{*}

مریم حاتمی. M.Sc^{*}, شبنم رزاعی مرادی. M.Sc^{*}

* گروه پژوهشی سلولهای بنیادی پژوهشکده رویان

** گروه پژوهشی ژنتیک پژوهشکده رویان

تاریخ وصول: مهر ماه ۸۳، تاریخ پذیرش: آذر ماه ۸۳

چکیده

هدف: سلولهای بنیادی جنینی از توده سلولی داخلی بلاستوسیستها به دست می‌آیند که دارای خاصیت پرتوانی و قابلیت نوسازی هستند. این سلولها برای مطالعات تمایز آزمایشگاهی، طب پیوند و عملکرد ژن و غیره به کار می‌روند. بنابراین، این مطالعه در جهت تولید رده‌های جدید سلولهای بنیادی جنینی و ارزیابی تأثیر نژاد بر تولید آنها انجام شد.

مواد و روشها: توده سلولی داخلی بلاستوسیستها موشاهی نژاد C57BL/6, NMRI, BALB/C یا هیبرید (نر NMRI با ماده C (BALB/C) کشت داده شدند. رده‌های تولید شده با مورفولوژی، پاساژ، انجماد و ذوب، بیان الکالین فسفاتاز، Oct-4 و تمایز خودبه‌خودی و تهیه کاریوتیپ مورد ارزیابی قرار گرفتند.

یافته‌ها: یک رده از ۲۶۰ بلاستوسیست نژاد BALB/C و دو رده از ۷۰ بلاستوسیست هیبرید BALB/CxNMRI تولید شد. اما از نژادهای دیگر رده‌های تولید نشد. رده‌های سلولی تولیدی طی پاساژهای متوالی به صورت غیرتمایز باقی ماندند و کاریوتیپ طبیعی XY را حفظ کرده و Oct-4 و الکالین فسفاتاز را بیان کردند. این سلولها در محیط آزمایشگاهی در غیاب سلولهای تغذیه کننده و LIF تمایز شدند و بعد از تشکیل اجسام شبه جنینی به سلولهای متفاوت از جمله سلولهای عضله قلبی دارای انقباض و عصب تمایز شدند. این داده‌ها تولید سه رده جدید سلولهای بنیادی و بیشتر بودن قابلیت تولید سلولهای ES در نژاد هیبرید (NMRIxBALB/C) را نسبت به نژاد BALB/C inbred نشان داد.

نتیجه‌گیری: نتایج این مطالعه تولید سه رده جدید سلول بنیادی جنینی را از موش نژاد همخون BALB/C و هیبرید (NMRIxBALB/C) نشان داد. در ضمن آنکه به نظر می‌آید بازدهی تولید سلولهای بنیادی جنینی در هیبرید نژادها بیشتر است.

کلید واژه‌ها: سلولهای بنیادی جنینی، پرتوانی، موش

مقدمه

(LIF) تکثیر پیدا می‌کنند و همچنین قابلیت تمایز به انواع رده‌های سلولی مانند سلولهای زایا را با انتقال به بلاستوسیست میزبان یا ترکیب با موروولا (Morula aggregation) حفظ می‌کنند [۳، ۴، ۵]. پرتوانی سلولهای بنیادی منجر به تولید هر سه لایه جنینی (اکندرم، مزودرم، اندودرم) می‌شود. تولید جنینهای کایمرا، تراتومس و تمایز به انواع سلولها در محیط آزمایشگاهی

بنیاخته‌های جنینی (Embryonic stem cells) سلولهایی پرتوان و با قابلیت نوسازی (Self-renewal) بالا هستند که از توده سلولی داخلی (ICM)^۱ بلاستوسیستها به دست می‌آیند [۱، ۲]. این سلولها در حالت تمایز نیافته در محیط آزمایشگاه با استفاده از سلولهای تغذیه کننده و فاکتور ممانعت کننده لوکمیابی

۱. آدرس مکاتبه: تهران، پژوهشکده رویان، گروه سلولهای بنیادی صندوق پستی ۱۹۳۹۵-۴۶۴۴ Email: Baharvand50@yahoo.com

مواد و (وشها)

جنبه ای از موشها همخون (inbred BALB/C) نژاد (انستیتو پاستور، انستیتو رازی) و ۶ C57BL (انستیتو پاستور) و ناهمخون نژاد NMRI (انستیتو پاستور) و هیبرید [نر (انستیتو پاستور) و ماده BALB/C (انستیتو پاستور)] (انستیتو پاستور) و ماده (PMSG (Pregnant Mare's Serum Gonadotropin) PMSG) HCG (Human Chrionic Gonadotropin) با شستشوی رحم به دست آمدند. زوناپلوسیدای جنبه ای با محلول اسیدتایروود ۱/۶mM CaCl₂+H₂O، ۱۰۰mM NaCl، ۲/۶mM KCl و ۴/۹mM MgCl₂+2H₂O، ۵/۴mM گلوكز، ۱/۱mM پلی وینیل پیرولیدون) حذف شد.

بلاستوسیستها به مدت ۴ روز بر سلولهای تغذیه کننده کشت شدند. سلولهای تغذیه کننده، فیبروپلاستهای جنبه ای کشت شدند. سلولهای جنبه ای (MEF) نژاد NMRI بود که با مایوتومایسین ۱۲/۵ روزه موش (Gibco, 10829-018) Knockout محيط کشت شامل: Dulbecco's Modified Eagle's Medium ۱۵ درصد سرم جنبه ای - ویژه سلولهای بنیادی (Gibco, 16141-079)، ۰/۱ ۰.۱mM مبلی مولار بتامرکاپتواتانول (Sigma, M-7522)، ۰.۱ میلی مولار اسیدهای آمینه غیرضروری (Gibco, 11140-035)، ۲ میلی مولار گلوتامین (Gibco, 25030-034) بود. فاکتور ممانعت کننده لوكومیایی (Chemicon, ESGRO ESC1107) با غلظت ۱۰۰۰unitmL^{-۱} ۵۰۰۰unitmL^{-۱} هنگام تولید رده و ۱۰۰۰unitmL^{-۱} زمان کشت و فریز سلولها در محیط فوق الذکر به کار برده شد.

بعد از گذشت ۴ روز، توده های گندی شکل حاصل از رشد ICM، به روش مکانیکی از تروفواکتودرم جدا شد. ICM به دو روش کشت داده شد. روش اول، توده سلولی داخلی به مدت ۳ دقیقه تحت تیمار با آنزیم EDTA/ تریپسین (Gibco, 25300-05) قرار گرفت؛ سوسپانسیون سلولی حاصل در ظروف ۹۶ خانه پوشیده با MEFTM غیرفعال شده، کشت داده شد.

1. Ethylenediaminetetraacetic Acid
2. Mouse Embryonic Fibroblast

تأثیرگذنده این مطلب است.

با تغییر شرایط کشت سلولهای بنیادی جنبه ای، نظری افزودن فاکتورهای رشد به محیط کشت یا تغییر اجزای شیمیایی سطحی که سلولهای بنیادی جنبه ای بر آن رشد می کنند، امکان تمایز جهت دار این سلولها وجود دارد. از جمله سلولهای متمایز شده می توان به کار دیومیوسیتها [۶ و ۷]، ماهیچه صاف [۸] و اسکلتی، چربی [۹]، اندوتیال [۱۰ و ۱۱] اشاره کرد. تشکیل اجسام شبه جنبه ای (Embryoid Bodies) (EB) اولین مرحله در تمایز است. زیرا ژنهای نشانگر سه لایه جنبه ای (اکتودرم، مزو درم، اندودرم) در اجسام شبه جنبه ای بیان می شود و به دنبال آن مشتقهای سه لایه جنبه ای ساخته می شود [۱۱].

استفاده از این مدل سلولی، امکان مطالعه در مورد فرآیندهای تکوینی مانند ایجاد دودمانهای سلولی، تغییرات سلولی طی تمایز، تعیین الگوی بدنی، ریخت زایی و... را در جنبه ای فراهم می کند [۱۲].

مطالعات سلولهای بنیادی جنبه ای موشی حدود ۲۰ سال پیش آغاز شد [۱۳ و ۱۴]. از جانوران دیگری نظری ماهیان [۱۴ و ۱۳]، جوجه [۱۵ و ۱۶]، خرگوش [۱۷ و ۱۸]، خوک [۱۹ و ۲۰]، گاو [۲۱]، گوسفند [۱۱] و میمون رزوس [۲۲] تولید سلولهای بنیادی جنبه ای انجام شده است. در سال ۱۹۹۸ از بلاستوسیستهای انسانی بنیاخته های جنبه ای تولید شد [۲۳]. بنیاخته های جنبه ای را در محیط آزمایشگاهی نیز می توان از لحاظ ژنتیکی دستکاری کرد؛ بنابراین این سلولها ابزار سودمندی جهت مطالعه هدفدار جهشها و تغییرات ژنتیکی هستند [۲۴].

همچنین امید است در آینده بیماریهایی که به علت تخریب یا از دست رفتن عملکرد تعداد محدودی از سلولها ایجاد می شوند با پیوند سلولهای تمایز یافته از سلولهای بنیادی جنبه ای درمان شوند [۲۵]. آزمایش کردن آثار داروهای جدید از دیگر کاربردهای بنیاخته های جنبه ای است [۲۶].

بنابراین با توجه به اهمیت تولید سلولهای بنیادی جنبه ای، این مطالعه به منظور تولید رده های جدید سلولهای بنیادی جنبه ای شروع شد و در آن اثر نژاد بر بازدهی تولید سلولهای بنیادی جنبه ای موش ارزیابی شد.

محلول نیتریت سدیم (Sigma, 91-4) و ۱٪ میلی لیتر محلول الکالین - REV (Sigma, 86-2) تهیه شده پس از دو دقیقه ۴/۵ میلی لیتر، آب بدون یون به آن اضافه شد. به دنبال آن ۱٪ میلی لیتر از محلول الکالین AS-B1 (Sigma, 86-1) اضافه شد و سپس مخلوط شد. از سوی دیگر سلولها در بافر سیتراتی استن شامل ۲۵ میلی لیتر محلول سیترات، ۶۵ میلی لیتر استن و ۸ میلی لیتر فرمالدئید (۰.۳٪) برای مدت ۳۰ ثانیه در دمای ۱۸-۲۶ درجه سانتی گراد ثبیت شدند. سلولها با آب بدون یون به مدت ۴۵ ثانیه شستشو شدند و سپس محلول فاز قبلی در تاریکی به سلولها افزوده شد. بعد از ۱۵ دقیقه سلولها به مدت ۲ دقیقه، شستشو شدند.

بررسی بیان ژن OCT-4 با استفاده از روش نسخه برداری معکوس

در ابتدا با استفاده از محلول RNX™-plus (سیناژن RN7713c)، استخراج total RNA از بنیخته های جنینی موشی صورت گرفت. قبل از نسخه برداری معکوس (RT)، نمونه های DNase I (Roche, 104132) استخراج شده تحت تیمار با RNA استخراج شده آلدگیهای احتمالی مربوط به DNA ژنومیک از قرار گرفتن تا آلدگیهای احتمالی مربوط به RNA استخراج شده نمونه های RNA حذف شود. سپس غلظت RNA استخراج شده با روش اسپکترو فوتومتری تعیین شد. ۲ میکرو گرم از RNA استخراج شده برداشته شد و با استفاده از پرایمر Random Rvert Aid™ H Minus First strand cDNA و کیت Hexamer synthesis (Fermentas, K1622) نسخه برداری معکوس انجام شد. سپس روی cDNA تولید شده PCR ۳ صورت گرفت. در اینجا مواد مخلوط شده برای انجام PCR دقیقاً مشابه مواد مخلوط شده برای انجام PCR ژن SRY بود که توضیح داده می شود. برای پی بردن به بیان ژن OCT-4 و همچنین β -tubulin که گروه شاهد داخلی است از پرایمرهای زیر استفاده شد [۲۷]: cot-4

Foward: 5' GGC GTT CTC TTT GGA AAG GTG TTC 3'
Reverse: 5' CATACT CGA ACC ACA TCC TTC TCT A 3'

1. Phosphate Buffered Salin
2. Reverse Transcription
3. Polymerase Chain Reaction

روش دوم، ICM بعد از جداسدن از تروفواکتو درم، مجدداً بر یک لایه تغذیه کننده کشت داده شد و روز بعد تحت تیمار با آنزیم قرار گرفت [۲۷].

پس از یک هفته، سلولها ترپیسینه شدند. بعد از مشاهده کلونیهای شبیه سلولهای بنیادی به منظور ارزیابی سلولها و از دیاد آنها، از ظروف کشت با سطوح بالاتر استفاده شد. به این ترتیب که سلولها از ۹۶ خانه به Central well و بعد به ۶ خانه و فلاسک 25cm^2 منتقل شدند.

پاساز هر ۴۸-۴۸ ساعت یکبار، هنگامی که پوشش کلونیها ۸۰-۹۰ درصد بود انجام شد. تعویض محیط به صورت روزانه انجام گرفت و سلولها در دمای ۳۷ درجه سانتی گراد با 5CO_2 درصد و ۸۵ درصد رطوبت نگهداری شدند. به منظور ارزیابی رده های سلولی تولید شده آزمایش های زیر صورت گرفت.

تهیه کاریوتایپ و نوار بندی G

سلولهای بنیادی جنینی به روش جداسازی افتراقی از سلولهای MEF جدا شدند و تحت تیمار با ۰/۰۵mg/ml کالسмید (Gibco, 15212-046) به مدت ۳۵ دقیقه قرار گرفتند. از KCl ۵۶ درصد (Merk Art4951) به عنوان هیپوتونیک استفاده شد و با محلول متانول و اسید استیک (۱:۳) سلولها تشییت شدند. بعد از تهیه گستره کروموزومی، با محلول ۵ درصد گیمسا تهیه شده در بافر سورنسون کروموزومها رنگ شدند.

پس از تهیه لام از سلولها، به مدت یک هفته، در محیط آزمایشگاه در دمای اتاق قرارداده شدند سپس لامها تحت تیمار با ترپیسین (با غلظت ۰/۰۵ درصد در PBS^۱) قرار گرفتند (به مدت ده ثانیه) و به ترتیب با اتانول ۷۰ و ۸۰ درصد شستشو داده شدند؛ پس از این مرحله لامها با آب مقطر شسته و با ۵ درصد گیمسا در بافر سورنسون به مدت ده دقیقه رنگ آمیزی شدند.

فعالیت الکالین فسفاتاز

فعالیت الکالین فسفاتاز سلولها مطابق روش موجود در کیت (Sigma) انجام شد. این آنزیم در سلولهای تمایز نیافته بیان می شود. محلول نمکی دیازونیوم شامل ۱٪ میلی لیتر از

Foward: 5'GTC AAG CGC CCC ATG AAT GCA TTT 3'
 Reverse: 5'TGT TGA GGC AAC TGC AGG CTG TAA 3'
 طول قطعه تکثیر شده: ۳۱۷ جفت باز، درجه حرارت: ۶۷ درجه سانتی گراد
 شرایط PCR نیز عبارت بود از: ۱) واسرتستگی

(Denaturation) اولیه: ۵ دقیقه، ۹۳ درجه سانتی گراد، ۲) واسرتستگی هر سیکل: ۴۵ ثانیه، ۹۳ درجه سانتی گراد، ۳) Annealing ۴۵ ثانیه، ۶۷ درجه سانتی گراد، ۴) extension نهایی: ۱۰ دقیقه ۴۵ ثانیه، ۷۲ درجه سانتی گراد، ۵) پرایمرهای ژن Oct-4 دمای ۶۷ درجه سانتی گراد و برای پرایمرهای ژن β -tubulin دمای ۶۰ درجه سانتی گراد، ۶) طویل شدگی (extension): هر سیکل ۴۵ ثانیه، ۷۲ درجه سانتی گراد. مخصوصاً آکارز ۱/۵ درصد جدا شده و با اتیدیوم بروماید قابل مشاهده شدند. نشانگر وزن مولکولی (HyPII) PUC 19 DNA/MSPI بود.

تمایز بنیاخته‌های جنینی در محیط آزمایشگاه به منظور ارزیابی خاصیت پرتوانی سلولهای بنیادی جنینی تولیدی، تمایز آنها به سلولهای عضله قلبی و عصبی در محیط آزمایشگاهی روشهایی که قبل‌اً ذکر شده است انجام گرفت [۲۸] و [۲۹]

ایمونوستیتوشیمی

رنگ‌آمیزی ایمونوستیتوشیمی از سلولهای عصبی و قلبی تمایز شده از سه رده حاصل به ترتیب زیر انجام گرفت: سلولها ابتدا دوبار با PBS شستشو شدند و بعد با محلول متانول: استن (۱:۳) در ۲۰-۲۰ درجه سانتی گراد و یا پارافمالدئید ۴ درصد در دمای اتاق تثبیت شدند. به دنبال شستشوی مجدد (دوبار با PBS)، سلولها با سرم ۱۰ درصد بز پوشانده شدند (۳۰ دقیقه)، آنتی‌بادیهای اولیه ضدسیمن (Sigma, D-1033) و α -اکتینین (Sigma, A-7811) و تروپونین I (Sigma, c-8093) و کانکسین (Chemicon, MAB1691) در مورد سلولهای قلبی و آنتی‌بادی اولیه توبولین (Sigma, T-5293) برای سلولهای عصبی به کار برده شد. به مدت ۶۰ دقیقه در دمای ۳۷ درجه سانتی گراد جداگانه به مجموعه‌های سلولی متفاوت اضافه شد. سپس سلولها سه بار با PBS شستشو شده (هر بار ۱۰ دقیقه) و به دنبال آن آنتی‌بادی

طول قطعه تکثیر شده: ۳۱۷ جفت باز، درجه حرارت: ۶۷ درجه سانتی گراد

β -tubulin:
 Foward: 5'GGA ACA TAG CCG TAA ACT GC3'
 Reverse: 5'TCA CTG TGC CTG AAC TTA CC 3'

طول قطعه تکثیر شده: ۳۱۷ جفت باز، درجه حرارت: ۶۰ درجه سانتی گراد

شرایط PCR نیز عبارت بود از: ۱) واسرتستگی (Denaturation) اولیه: ۵ دقیقه، ۹۳ درجه سانتی گراد، ۲) واسرتستگی هر سیکل: ۴۵ ثانیه، ۹۳ درجه سانتی گراد، ۳) بازسرشتگی (Annealing): ۴۵ ثانیه، برای پرایمرهای ژن Oct-4 دمای ۶۷ درجه سانتی گراد و برای پرایمرهای ژن β -tubulin دمای ۶۰ درجه سانتی گراد، ۴) طویل شدگی (extension): هر سیکل ۴۵ ثانیه، ۷۲ درجه سانتی گراد. مخصوصاً آکارز ۱/۵ درصد جدا شده و با اتیدیوم بروماید قابل مشاهده شدند. نشانگر وزن مولکولی (HyPII) PUC 19 DNA/MSPI بود.

تعیین جنسیت سلولهای بنیادی جنینی

در ابتدا بنیاخته‌های جنینی که به طور جداگانه بر MEF کشت شده بودند از MEF تفکیک شد و DNA این بنیاخته‌ها با استفاده از کیت DNPTM (سیناژن DN8115c) استخراج شد. غلاظت DNA استخراج شده با استفاده از روش اسپکتروفوتومتری تعیین شد. دراینجا برای کنترل مثبت و منفی به ترتیب از DNA استخراج شده از طحال موش نر و ماده استفاده شد. به منظور انجام PCR مواد زیر در یک لوله PCR با یکدیگر مخلوط شدند:

۱۰X PCR buffer (AMS) ۲ DNA (۵۰ ng/ μ l) ۰.۵ میکرولیتر، dNTPmix (۱۰ mM) ۰.۷۵ MgCl₂ (۵۰ mM) ۰.۵ میکرولیتر، ۰.۵ میکرولیتر)، از هر پرایمر (۱۰ میکرولیتر) ۱ میکرولیتر، (TA8110C ۰.۵ smartaq μ l (۵ μ l/unit).)

در نهایت با استفاده از آب دوبار تقطیر به حجم ۲۵ میکرولیتر رسانده شد. برای پی بردن به حضور یا عدم حضور ژن SRY که ژن شاخص کروموزوم Y و نشان دهنده نربودن رده سلولی است از پرایمرهای زیر استفاده شد [۲۷]:

بعد از فریز بین یاخته‌ها و ذوب و کشت آنها، بقاء و تقسیم و تشکیل کلونی‌های نامتمایز و پرتوانی سلولها پایدار بود. رده‌های سلولهای بنیادی تولید شده دارای فعالیت الکالین فسفاتازی بودند (شکل ۲).

جدول ۲. خصوصیات سه رده سلولهای بنیادی جنینی تولید شده

نام رده	خصوصیات	کاربیوتیپ (Modal No)	زن SRY	بیان Oct-4	بیان kalbین فسفاتاز	نورون	تمایزیه کاردیومیوسمیت
Royan C4	(٪۷۶)۴۰	+	+	+	+	+	+
Royan C5	(٪۷۸)۴۰	+	+	+	+	+	+
Royan C6	(٪۸۰)۴۰	+	+	+	+	+	+

هر سه رده فاکتور رونویسی Oct-4 را بیان می‌کردند (شکل ۳). نیز در هر سه رده دلالت بر نر بودن آنها می‌کرد (شکل ۴).

کاربیوتیپ هر ۳ رده طبیعی و دارای ۴۰ کروموزوم بود مقایسه کاربیوتیپ تهیه شده از این سلولها، با کاربیوتیپ طبیعی سلولهای موش نشان داد که این سلولها در سطح کروموزومی بدون نقص بوده و تغییری در ساختار کروموزومی آنها دیده نشد (شکل ۵).

در تمایز سلولهای بنیادی مناطق دارای انقباض مشاهده شد که پس از رنگ‌آمیزی ایسمونوستیوشیمی با آنتی‌بادیهای اختصاصی پروتئین‌های قلبی، کاردیومیوسمیت بودن این سلولها کاملاً مشخص شد (شکل ۶) و سلولهای با مورفولوژی سلولهای عصبی نیز مشاهده شد که استفاده از آنتی‌بادی ضدتوبولین و مشاهده این پروتئین‌ها با میکروسکوپ فلورسنس تأییدی بر عصبی بودن آنها بود (شکل ۷).

بحث

نتایج این مطالعه تولید یک رده سلول بنیادی جنینی از موش C و دو رده از موش هیبرید BALB/C×NMRI را نشان داد ولی از نژادهای 6/BL و C57BL نرده سلولی تولید نشد.

سلولهای بنیادی جنینی به عنوان ابزاری توانمند در تولید

ثانویه نشاندار با FITC (Sigma, F-9006) اضافه شد. (۱:۱۰۰) و به مدت ۶۰ دقیقه در دمای ۳۷ درجه سانتی‌گراد انکوبه شدند. در پایان سلولها سه بار با PBS شستشو و با میکروسکوپ فلورسنس (Nikon/TE 2000) مورد ارزیابی قرار گرفتند. لازم به ذکر است که مناطق ضرباندار سلولهای عضله قلبی قبل از رنگ‌آمیزی جدا شد، هر ۳-۵ قطعه تحت تیمار با آنزیم تریپسین/EDTA قرار گرفت و بعد از منفرد شدن ۴۸ ساعت بر ژلاتینه کشت داده شد. coverslip

یافته‌ها

از سه نژاد موشی C57BL/6، BALB/C، NMRI، یک رده از نژاد BALB/C و دو رده از جنینهای هیبرید (BALB/C×NMRI) به دست آمد که C4 (با منشاء Royan C5 و Royan C6 (با منشاء هیبرید BALB/C ماده× NMRI نر) نامیده شدند.

نتایج حاصل از تولید سلولهای بنیادی از موشها با نژاد مختلف در جدول ۱ آمده است.

جدول ۱. نتایج حاصل از تولید سلولهای بنیادی از نژادهای مختلف موش

نژاد موشی	متغیر بلاستوسیست	تعداد جدانشده ICM	تعداد رده تولید شده
BALB/C	۲۶۰	۲۶۰	۱
C57BL/6	۱۲	۱۲	۰
NMRI	۵۷۰	۵۷۰	۰
BALB/C×NMRI	۷۰	۷۰	۲

خصوصیات سه رده تولیدی در جدول ۲ آمده است.

هر سه رده از لحاظ مورفولوژی کلونی منطبق با کلونی سلولهای بنیادی جنینی بود. کلونیها دوکی شکل، سه بعدی، با کناره کاملاً صاف و سلولها غیرقابل تفکیک از یکدیگر بودند (شکل ۱).

تقسیم سلولها با سرعت بسیار خوب انجام شد به طوری که هر ۲۴-۴۸ ساعت یکبار پاساژ صورت گرفت. سلولها تا پاساژ ۱۵ همچنان حالت غیرتمایزی خود را حفظ کرده‌اند.

جدول ۳. رده‌های سلولی بنیادی جنینی و نژادهای موشی

ر		نام رده سلولی بنیادی جنینی	نژاد موش	ماخذ
1	CCE		129	Robertson et al, 1986(۱۴)
2	D3		129	Gossler et al, 1986(۱۵)
3	E14		129	Hooper et al, 1987(۱۶)
4	AB1		129	McMahan and Bradley, 1990(۱۷)
5	MBL-5		129	Pease et al, 1990(۱۸)
6	EPC-3		129	Nichols et al, 1990(۱۹)
7	BL/6-III	C57BL/6		Ledermann and Burki 1991(۲۰)
8	J1		129	Li et al, 1992(۲۱)
9	PJS		129	Johnson et al, 1992(۲۲)
10	F1/1	CBAxC57BL/6		Tokunaga and Tsunoda 1992(۲۳)
11	TT2	CBA, C57BL/6		Yagi et al, 1993(۲۴)
12	-	NOD		Nagafuchi et al, 1999(۲۵)
13	MPI		129	Voss et al, 1997(۲۶)
14		DBA/1Lac J		Roach et al, 1995(۲۷)
15		C57BL/6		Brook and Gardner 1997(۲۸)
16		PO		Brook and Gardner 1997(۲۹)
17		CBA/Ca		Brook and Gardner 1997(۳۰)
18		MRL		Goulet et al, 1997(۳۱)
19	WWG	C57BL/6, 129/Sv and Sil		Loffe et al, 1995(۳۲)
20	R1		129	Nagy A et al, 1990 PNAS(۳۳)
21		C57BL/6		Auerbach et al, 2000(۳۴)
22	ALK1, ALKA2 ALK4, ALKA5, ALK3	BALB/C		Kawase et al, 1994(۳۵)
23	MS8, MS9, MS11, MS12	C57BL/6		Kawase et al, 1994(۳۶)
24	A32, A414, B310, B410	129/SV		Sukoyan et al, 2002(۳۷)
25			129	Abbondanzo et al, 1993(۳۸)
26	Royan B1, B2	C57BL/6		Baharvand, Mathaei, 2004(۳۹)
27	Royan C1, C2, C3	BALB/c		Baharvand, Mathaei, 2004(۴۰)

PCR ژن SRY نشان داد که هر سه رده تولید شده نر هستند. این موضوع بسیار حائز اهمیت است زیرا ۱) نگهداری حیوان حاصل از آن راحت‌تر است؛ ۲) طی پاساژهای متواالی، پایداری کروموزومی آن نسبت به سلولهای بنیادی جنینی ماده بالاتر است؛ به طوری که در سلولهای بنیادی جنینی ماده مانند اپی‌پلاست هر دو کروموزوم X فعال و در نتیجه ناپایدار هستند [۵۴] طی پاساژهای متواالی معمولاً یک کروموزوم X از بین می‌رود و رده سلولی ES تبدیل به کاریوتیپ XO می‌شود؛ ۳) تولید حیوان کایمرا از سلولهای بنیادی جنینی نر راحت‌تر است. زیرا به دلیل مشارکت سلولهای بنیادی جنینی در برآمدگی گنادی حتی اگر جنین میزبان ماده باشد، از آنجاکه در سلولهای XX در محیط بیضه‌ای رشد نمی‌کنند سلولهای زاینده حاصل از

حیوانات ترانس ژن هستند. با تقلید از شرایط *in vivo* می‌توان از سلولهای بنیادی جنینی برای تولید انواع سلولها در محیط آزمایشگاهی به منظور اهداف طب پیوند، مطالعات زیست‌شناسی تکوینی و تولید مثل و توسعه صنایع داروسازی استفاده نمود. یک نکته مهم در این خصوص، تولید سلولهای بنیادی جنینی از نژادهای مختلف موشی است.

از جمله خصوصیات مهم سلولهای بنیادی که در تمامی رده‌ها وجود دارد عبارتند از: منشاء ICM، توان تقسیم نامحدود و بدون تمایز، کاریوتیپ طبیعی کروموزومی، قابلیت کلونی‌زایی، بیان الکالین فسفاتاز و OCT-4 [۳۰] که هر سه رده تولید شده دارای خصوصیات مذکور بودند.

از جمله نکات مهم در تولید رده سلولهای بنیادی، نژاد موش مورد استفاده است. فراوانی تولید رده در موش نژاد ۱۲۹SV، ۱۰-۳۰ درصد [۲۸] و از نژاد ۲/۵ درصد [۲۷] گزارش شده است. در این مطالعه، ۳٪ از نژاد C57BL/6 و ۰.۲٪ از هیبرید دو نژاد BALB/C و NRMI حاصل شد و از نژاد C57BL/6، NMRI رده‌ای به دست نیامد.

جدول ۳ به بیان رده‌های سلولهای بنیادی جنینی و نژادهای مختلف موشی می‌پردازد.

همان‌طور که در جدول ۳ آمده است بیشتر رده‌های موجود از نژاد موش ۱۲۹ به دست آمده‌اند. ولی رده‌های F1/1 و TT2 از هیبرید نرهای نژاد CBA و ماده‌های نژاد 6/6 C57BL تولید شده‌اند (جدول ۳).

فراوانی کم تولید سلولهای بنیادی جنینی از این نژادها نسبت به نژاد ۱۲۹ به اختلاف ژنتیکی نژادها بستگی دارد. شرایط مطلوب کشت از قبیل نوع سرم، غلظت LIF، نحوه دستکاری و زمان منفرد کردن سلولهای ICM از نکات مهم دیگر در تولید رده سلولهای بنیادی جنینی است [۵۲ و ۵۳].

غلظت LIF در تولید بنیادهای جنینی در این مطالعه $500\text{ }\mu\text{ml}^{-1}$ و بعد از آن یعنی زمان نگهداری این سلولها $100\text{ }\mu\text{ml}^{-1}$ بود. در گزارش قبلی که از دو غلظت $500\text{ }\mu\text{ml}^{-1}$ و $1000\text{ }\mu\text{ml}^{-1}$ برای تولید رده سلولهای بنیادی جنینی از نژاد BALB/C استفاده شده بود [۲۷]؛ مشاهده شد که به کارگیری غلظت بالای LIF ابتدا کار مناسب‌تر است.

تمایز آزمایشگاهی این سلولها دلالت می‌کند. بدین ترتیب نتایج این مطالعه، حصول یک رده جدید و دو سلولهای بنیادی جنینی موشی نژاد با BALB/C هیبرید دو نژاد پرتوان NMRI×BALB/C خصوصیات سلولهای را نشان داد.

تقدیر و تشکر

این مطالعه براساس طرح تولید رده‌های جدید سلولهای بنیادی جنینی موشی، مشترک بین پژوهشکده رویان و شبکه پژوهشکی مولکولی انتستیتو پاستور است. بدینوسیله نویسندهای مقاله از مسئولین هر دو مرکز قدردانی می‌نمایند.

سلولهای بنیادی جنینی نر بوده و کایمراهای تولیدی نر می‌شوند [۵۵].

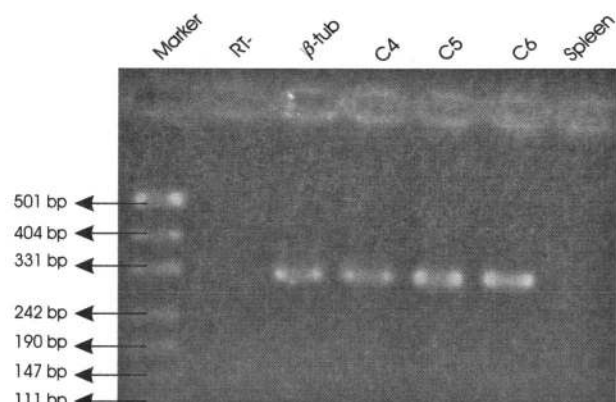
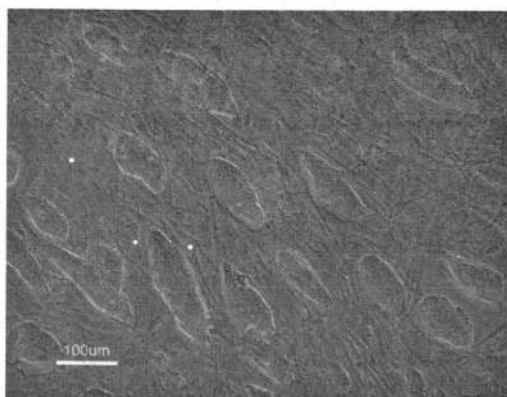
مهمترین ویژگی سلولهای بنیادی جنینی توانایی آنها به تمایز آزمایشگاهی به اکتودرم، مزو درم و اندودرم و سلولهای منشعب از آن است، با این سلولها می‌توان اجسام شبه جنینی را به وجود آورد. در این ساختار فرآیندهای تکوینی طبیعی مراحل اولیه جنینی ظاهر می‌شود و واکنش سلول به سلول مورد نیاز برای تمایز سلولی پیش می‌رود. یک لایه اندودرمی اطراف اجسام شبه جنینی را احاطه می‌کند و مخلوط ناهمگونی از انواع سلولها را دربرمی‌گیرد. شناسایی مشتقات سلولی لایه‌های جنینی مثل نورون و کاردیومیوسیت بر پرتوان بودن و توانایی

References

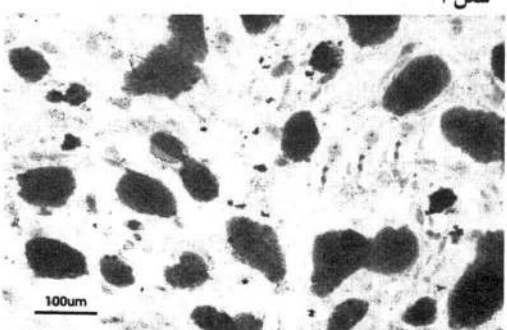
- Evans MJ, Kaufman MH. Establishment in culture of pluripotential cells from mouse embryos. *Nature* 1981; 292: 154-6.
- Martin GR. Isolation of a pluripotent cell line from early mouse embryos culture in medium conditioned by teratocarcinoma stem cells. *Proc Natl Acad Sci USA* 1981; 78: 7634-8.
- Beddington, RSP, Robertson EJ. An assessment of the developmental potential of embryonic stem cells in the midgestation mouse embryo. *Development* 1989; 105: 733-7.
- Nagy A, Gocza E, Diaz EM, Prideaux VR, Ivanyi E, Markkula M, Rossant J. Embryonic stem cells alone are able to support fetal development in the mouse. *Development* 1990; 110: 815-21.
- Robertson EJ. embryo-derived stem cell lines. In Robertson, EJ (ed.), *Teratocarcinomas and Embryonic stem cells: a Practical Approach*, IRL Press, Oxford. 1987, pp. 71-112.
- Doetschman T, Eistetter H, Katz M, Schmitz W, Kemler R. The in vitro development of blastocyst derived embryonic stem cell line: formation of visceral yolk sac, blood Islands and myocardium. *J Embryol Exp Morph* 1985; 87: 27-45.
- Maltsev VA, Rohwedel J, Hescheler J, Wobus AM. Embryonic stem cells differentiate in vitro into cardiomyocytes representing sinus nodal, atrial and ventricular cell types. *Mech Dev* 1993; 44: 41-50.
- Yamashita J, Itoh H, Hirashima M, Ogawa M, Nishikawa S, Yurugi T, Naito M, Nakao K, Nkshikawa S. F1K1- Positive cell derived from embryonic stem cells serve as vascular progenitors. *Nature* 2000; 408: 92-6.
- Dani C, Smith AG, Dessolin S, Leroy P, Staccini L, Villageois P, Darimont C, Aihaud G. Differentiation of embryonic stem cells into adipocytes in vitro. *J Cell Sci* 1997; 110: 1279-85.
- Risau W, Sariola H, Zerwes HG, Sasse J, Ekblom P, Kemler R, Doetschman T. Vasculogenesis and angiogenesis in embryonic stem-cell-derived embryoid bodies. *Dvelopment* 1988; 102: 471-8.
- Wells ON, Misica PM, TA Day M, Tervit HR. Production of cloned lambs from an stem (ES) cell lines. *Int J Dev Biol* 1994; 38: 385-90.
- Rodde ASJ, Kavanagh SJ, Rathjen J, Rathjen PD. Embryonic stem cell differentiation and the analysis of mammalian development. *Int J Dev Bio* 2002; 46: 449-58.
- Hong YC, Winkler M. Schartl production of medakafish chimerase from a stable embryonic stem cell line. *Proc Natl Acad Sci USA* 1998; 95: 3679-84.
- Sun LCS, Bradford G, Ghosh PCollodi. ES- like cell cultures derived from early zebra fish embryos. *Mol Mar Biol Biotechnol* 1995; 4: 193-9.
- Pain B, ME Clark M, Shen H, Nakazawa M, Sakura J, Samarut Etches RJ. Long term in vitro culture and characterizations of avian embryonic stem cells with multiple morphogenic potentialities. *Development*

- 1996; 122: 2339-48.
16. Chang IK, DL Jeong, YH Hong, TS Park, YK Moon, T Ohon, JY Han. Production of germ line chimeric chickens by transfer of cultured primordial germ cells. *Cell Biol Int* 1997; 21: 495-9.
17. Schoonjans L, GM Albrecht, JL Li, D Collen, RW Moreadith. Pluripotential rabbit embryonic stem (ES) cells are capable of forming ovo-coat color chimeras following injection into blastocysts. *Mol Reprod Dev* 1996; 45: 439-43.
18. Mones AB, Flechon J, Degrouard X, Vignon J, Ding JE, Flechon KJ, Betteridge JP Renard. Ultra structural and immunocytochemical analysis of diploid germ cells isolated from fetal rabbit gonads. *Zygote* 1997; 5: 47-60.
19. Wheeler MB. Development and validation of swine embryonic stem cells. A review. *Reprod Fertil Dev* 1994; 6: 563-8.
20. Piedrahita JA, Moore K, Octama B, Lee CK, Seales N, Ramsoondar J, Baze FW, Ott T. Generation of transgenic porcine chimeras using primordial germ cell-derived colonies. *Biol Reprod* 1998; 58: 1321-9.
21. Cibelli JB, Stice SL, Golueke PG, Kane J, Jerry JJ, Blackwell ESC, Ponce de Lone FA, Robl MJ. Transgenic bovine chimeric offspring produced from somatic cell-derived stem-like cells. *Nat Biotechnol* 1998; 16: 642-6.
22. Thomson JA, Kalishman J, Golos TG, Durning M, Harris CP, Becker RA, Hearn J. Isolation of a primate embryonic stem cell line. *Proc Natl Acad Sci USA* 1995; 92: 7844-8.
23. Thomson JA, Itskovitz-Eldor J, Shapiro SS, Waknitz MA, Swiergiel JJ. Embryonic stem cell lines derived from human blastocysts. *Science* 1998; 282: 1145-7.
24. Wang ZQ, Kiefer F, Urbanek P, Wagner EF. Generation of completely embryonic stem cell-derived mutant mice using tetraploid blastocyst injection. *Mech Dev* 1997; 62: 137-45.
25. Henningson CT, Stanislaus MA, Gewirtz AM. Embryonic and adult stem cell therapy. I Allergy Clin Immunol 2003; 111: S753-4.
26. Gorba T, Allsopp TE. Pharmacological potential of embryonic stem cells. *Pharmacol Res* 2003; 47: 269-78.
27. Baharvand H, Matthaei KI. Culture condition difference for establishment of new embryonic stem cell lines from the C57BL/6 and BALB/C mouse strains. *In Vitro Cell. Dev Biol Anim* 2004; 40: 76-81.
28. Baharvand H, Power JM, Ozsarac N, Matthaei KI. Differentiation of embryonic stem cells into functional neurons *in vitro*. *Neurosci Res Commun* 2004; 35(2): 130-8.
۲۹. بهاروند حسین، آذربایجانی مهناز، پریور کاظم، کاظمی آشتیانی سعید. خصوصیات ضربانگی (کرونوتروپی) سلولهای حople تلبی مشتق از بنیاخته‌های جنینی. مجله پزشکی کوثر، زمستان ۸۳، ۹(۴)، ۲۷۱-۲۶۱.
30. Smith AG. Embryo- derived stem cells of mice and men. *Annu Rev Cell Dev Biol* 2001; 17: 435-62.
31. Robertson E, Bradley A, Kuehn M, Evans M. Germ-line transmission of genes introduced into cultured pluripotential cells by retroviral vector. *Nature* 1986; 323: 445-8.
32. Gossler A, Doetschman T, Korn R, Serfling E, Kemler R. Transgenesis by means of blastocyst derived embryonic stem cell lines. *Proc Natl Acad Sci USA* 1986; 83: 9065-9.
33. Hooper M, Hardy K, Handyside A, Hunter S, Monk M. HPRT - Deficient (Lesch - Nyhan) mouse embryos derived from germline colonization by cultured cells. *Nature* 1987; 326: 292-5.
34. McMahon AP, Bradley A. The Wnt-1 (int-1) proto-oncogene is required for development of a large region of the mouse brain. *Cell* 1990; 62: 1073-85.
35. Pease S, Braghetta P, Gearing D, Grail D, Williams RL. Isolation of embryonic stem (ES) cells in media supplemented with recombinant leukemia inhibitory factor (LIF). *Dev Biol* 1990; 141: 344-52.
36. Nichols J, Evans EP, Smith AG. Establishment of germ - line competent embryonic stem (ES) cells using differentiation inhibiting activity. *Development* 1990; 110: 1341-8.
37. Ledermann B, Burki K. Establishment of a germ line competent C57BL/6 embryonic stem cell line. *Exp Cell Res* 1991; 197: 254-8.
38. Li E, Bestor TH, Jaenisch R. Targeted mutation of the DNA methyltransferase gene results in embryonic lethality. *Cell* 1992; 69: 915-26.
39. Johnson RS, Spiegelman BM, Papaioannou V. Pleiotrophic effects of a null mutation in the c-fos proto-oncogene. *Cell* 1992; 71: 577-86.
40. Tokunaga T, Tsunoda Y. Efficacious production of viable germ-line chimeras between embryonic stem(ES) cell and 8- cell stage embryo. *Dev Growth*

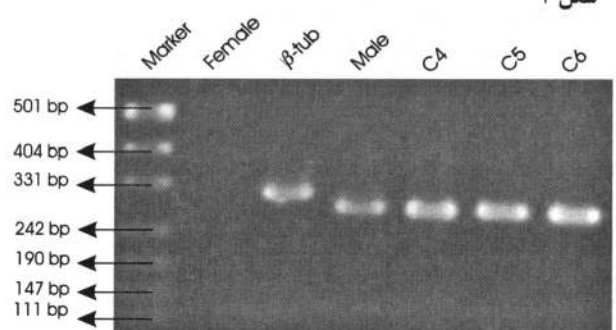
- Differ 1992; 34: 561-6.
41. Yagi T, Tokunaga T, Furutani S, Nishio S, Yoshida M. A novel ES cell line, TI2, with high germ line differentiating potency. Anat Rec 1993; 214: 70-6.
 42. Nagafuchi S, Katsuta H, Egawa K, Akashi T. Establishment of an embryonic stem (ES) cell line derived from a nonobese diabetic (NOD) mouse: In vitro differentiation into lymphocytes and potential for germ line transmission. FEBS Letters 1995; 455: 101-4.
 43. Voss AK, Thomas T, Gruss P. Germ line chimeras from female ES cells. Exp Cell Res 1997; 230: 45-9.
 44. Roach ML, McNeish JD. Methods for the isolation and maintenance of murine embryonic stem cells. Methods in Mol Biol 2002; 1850: 1-16.
 45. Brook FA, Gardner RL. The origin and efficient derivation of embryonic stem cells in the mouse. Proc Natl Acad Sci USA 1997; 94: 7709-12.
 46. Goulet JL, Wang CY, Koller BH. Embryonic stem cell lines from MRL mice allow genetic modification in a murine model of autoimmune disease. J Immunol 1997; 159: 4376-81.
 47. Loffe E, LIU Y, Bhaumik M, Poirier F, Factor SM, Stanley P. WW6: An embryonic stem cell line with an inert genetic marker that can be traced in chimeras. Proc Natl Acad Sci USA 1995; 92: 7357-61.
 48. Auerbach JH, Dunmore JH, Fairchild-Huntress, Fang Q, Auerbach AB, Huszar D, Joyner AL. Establishment and chimera analysis of 129/SvEv and C57BL/6 - derived mouse embryonic stem cell lines. Biotechniques 2000; 29: 1025-31.
 49. Kawase E, Saemori H, Takahashi N, Okazaki K, Hashimoto K, Nakatsuji N. Strain difference in establishment of mouse embryonic stem (ES) cell lines. Int J Dev Biol 1994; 38: 385-90.
 50. Sukoyan MA, AN Golubitsa, AI, Zhelezova AG, Shilov SY, Vatolin LP, Maximovsky, LE Andreeva, J McWhir, SD Pack, SI Baybordin, AY Kerkis, HI Kizilova, OL Seov. Isolation and cultivation of blastocyst derived stem cell lines from American mink (Mustela vison). Mol Reprod Dev 1992; 33: 418-31.
 51. Abbondanzo SJ, Gadi I, Stewart CL. Derivation of embryonic stem cells lines. Methods in Enzymology, (Wasserman. PM and Depamphilis ML,(eds.) Academic Press, San Diego 1993; 225: 803-23.
 52. Hogan B, Constantini F, Lacy E. Manipulating the mouse embryo: A laboratory manual. Cold Spring Harbor laboratory, Cold Spring Harbor, NY. 1994.
 53. Bradley A. Teratocarcinomas and embryonic stem cells: A practical approach (Roberson, EJ, Ed). 1987; pp. 113-152, IRL Press, Oxford.
 54. Rastan S, Robertson EJ. X-chromosome deletions in embryo-derived (EK) cell lines associated with lack of X-chromosome inactivation. J Embryol Exp Morphol 1985; 90: 379-88.
 55. Bradley A, Evans MJ, Kaufman MH, Robertson E. Formation of germ-line chimeras from embryo-derived teratocarcinoma cell lines. Nature 1984; 309: 255-6.



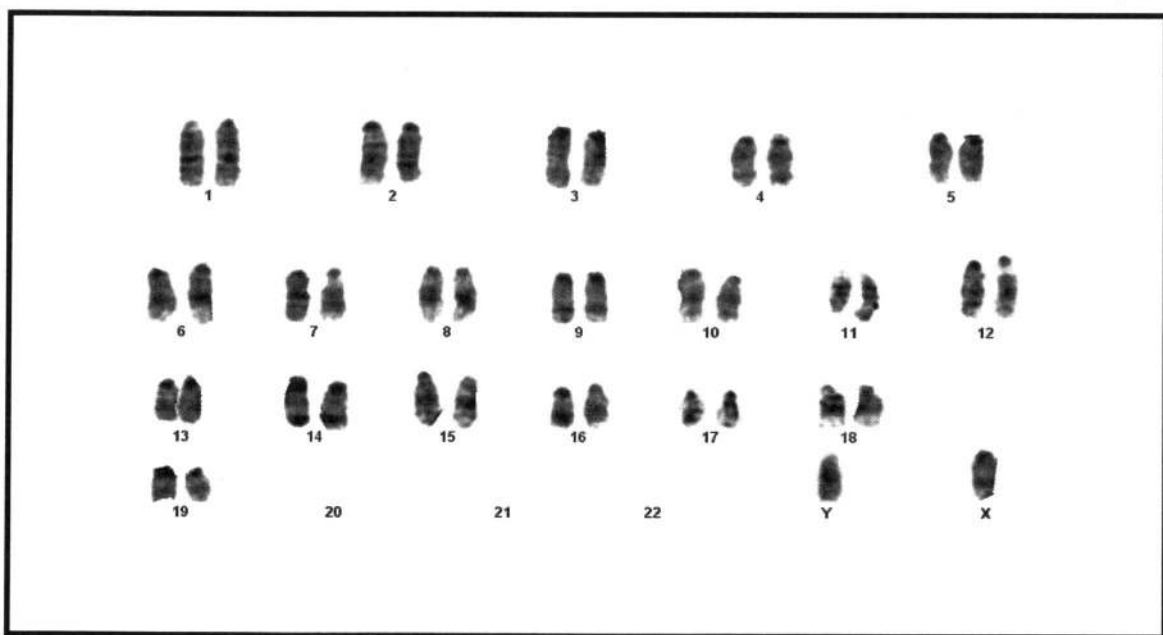
شکل ۱



شکل ۲



شکل ۴



شکل ۵

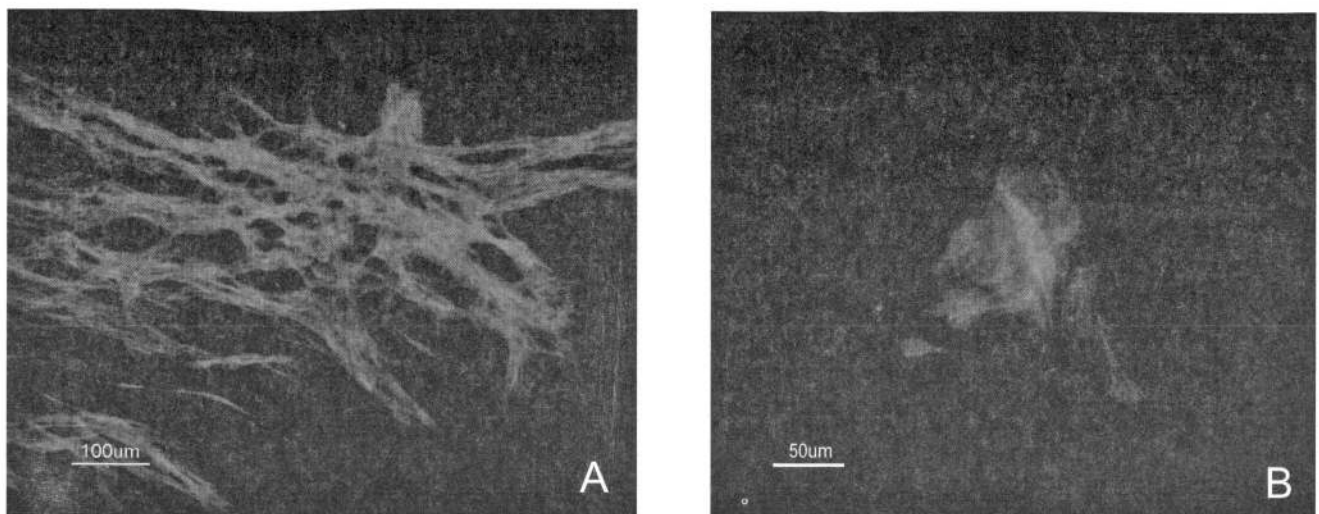
شکل ۱. کلونیهای سلولهای بنیادی جنینی کشت داده شده بر فیبروپلاستهای جنینی موش

شکل ۲. فعالیت الکالین فسفاتاز کلونیهای سلولهای بنیادی

شکل ۳. بیان ژن Oct-4 در ردههای سلولهای بنیادی جنینی تولید شده

شکل ۴. الکتروفورز محصلو PCR ژن SRY

شکل ۵. نواربندی G سلولهای بنیادی جنینی تولید شده



شکل ۶. ایمونوستیتوشیمی سلولهای ماهیچه قلبی با آنتی بادی علیه (A) تروپوئنین I و (B) اکتینین

شکل ۷. ایمونوستیتوشیمی سلولهای عصبی با آنتی بادی علیه β -توبولین

